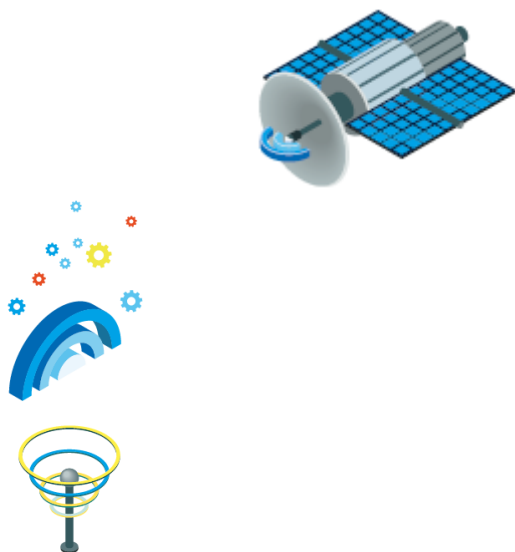


# 강의교안 이용 안내

- 본 강의교안의 저작권은 김영길과 한빛아카데미(주)에 있습니다.
- 이 자료를 무단으로 전제하거나 배포할 경우 저작권법 136조에 의거하여 벌금에 처할 수 있고 이를 병과(併科)할 수도 있습니다.





# CHAPTER 10

## 디지털 복조

# 기초 통신이론

디지털 통신 중심으로

# Contents

---

**10.1** 신호 공간으로의 투영

**10.2** 최소 유클리드 거리 판정

**10.3** 정합 필터

**10.4** 판정 경계와 합집합 상한

**10.5** BPSK 복조

**10.6** ASK 복조

**10.7** BFSK 복조

**10.8** MPSK 복조

**10.9** QAM 복조



## 10.1 신호 공간으로의 투영

# 10.1 신호 공간으로의 투영

## • 수신신호

$$r(t) = s_m(t) + n(t) \quad (10.1)$$

- $n(t)$ 는 자기상관함수가  $\frac{N_0}{2}\delta(\tau)$  인 AWGN
- $m = 0, 1, 2, \dots, M-1$

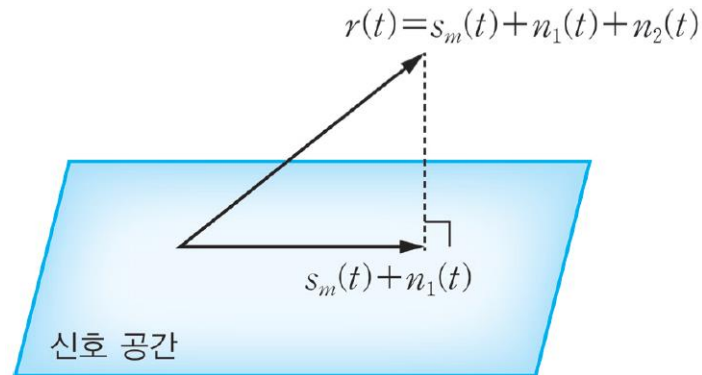
## • 신호 공간은 다음과 같다고 가정

$$\{c_1 \cos 2\pi f_c t + c_2 \sin 2\pi f_c t \mid c_1, c_2 \text{ 는 실수}\}$$

이 신호 공간의 정규 직교 베이스는

$$\phi_1(t) = \sqrt{\frac{2}{T_s}} \cos 2\pi f_c t, \quad \phi_2(t) = -\sqrt{\frac{2}{T_s}} \sin 2\pi f_c t$$

# 10.1 신호 공간으로의 투영



[그림 10-1] 수신 신호  $r(t)$ 의 투영 후의 신호  $s_m(t) + n_1(t)$

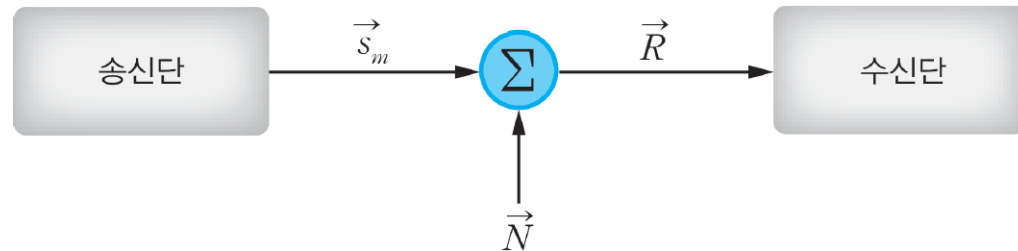
$$s_m(t) + n_1(t) = R_1 \phi_1(t) + R_2 \phi_2(t) \quad (10.3)$$

# 10.1 신호 공간으로의 투영

$$R_1 = \int_0^{T_s} r(t) \phi_1(t) dt = \int_0^{T_s} \{s_m(t) + n(t)\} \phi_1(t) dt = s_{m,1} + N_1 \quad (10.8)$$

$$R_2 = \int_0^{T_s} r(t) \phi_2(t) dt = \int_0^{T_s} \{s_m(t) + n(t)\} \phi_2(t) dt = s_{m,2} + N_2$$

$$\vec{R} = \vec{s}_m + \vec{N} \quad (10.12)$$



[그림 10-2] 벡터 채널 모델

# 10.1 신호 공간으로의 투영

## 예제 10-1

구간  $0 < t < T_s$  에서 변조된 신호들의 신호 공간이  $\{c_1 \cos 2\pi f_c t + c_2 \sin 2\pi f_c t \mid c_1, c_2 \text{는 실수}\}$ 이고, 이 신호 공간의 정규 직교 베이스가  $\phi_1(t) = \sqrt{\frac{2}{T_s}} \cos 2\pi f_c t$ ,  $\phi_2(t) = -\sqrt{\frac{2}{T_s}} \sin 2\pi f_c t$ , 수신 신호가  $r(t) = s_m(t) + n(t)$  일 때, 수신 벡터  $\vec{R}$ 과 잡음 벡터  $\vec{N}$ 을 구하시오.

## 풀이

신호 공간이  $\{c_1 \cos 2\pi f_c t + c_2 \sin 2\pi f_c t \mid c_1, c_2 \text{는 실수}\}$ 이므로 2차원 변조이다. 따라서 수신 벡터는  $\vec{R} = (R_1, R_2)$ 이고 잡음 벡터는  $\vec{N} = (N_1, N_2)$ 이다.  $R_1 = \langle r(t), \phi_1(t) \rangle$ ,  $R_2 = \langle r(t), \phi_2(t) \rangle$ ,  $N_1 = \langle n(t), \phi_1(t) \rangle$ ,  $N_2 = \langle n(t), \phi_2(t) \rangle$ 이므로 수신 벡터  $\vec{R}$ 과 잡음 벡터  $\vec{N}$ 은 다음과 같다.

$$\vec{R} = \left( \int_0^{T_s} r(t) \sqrt{\frac{2}{T_s}} \cos 2\pi f_c t dt, - \int_0^{T_s} r(t) \sqrt{\frac{2}{T_s}} \sin 2\pi f_c t dt \right)$$

$$\vec{N} = \left( \int_0^{T_s} n(t) \sqrt{\frac{2}{T_s}} \cos 2\pi f_c t dt, - \int_0^{T_s} n(t) \sqrt{\frac{2}{T_s}} \sin 2\pi f_c t dt \right)$$





## 10.2 최소 유클리드 거리 판정

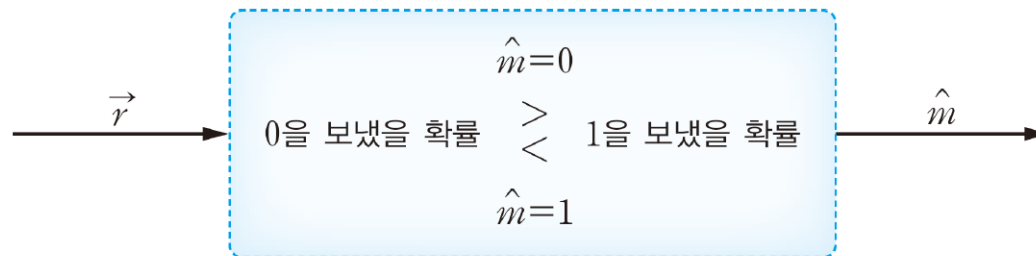
## 10.2 최소 유클리드 거리 판정

- 심볼오류율

$$P_s = P(\hat{m} \neq m) = \sum_{i=0}^{M-1} P(\hat{m} \neq i | i) P_m(i) \quad (10.13)$$

- 최대사후확률(maximum a posteriori: MAP) 판정

$$\hat{m} = \arg \max_i P_{m|\vec{R}}(i | \vec{r}) \quad (10.14)$$



[그림 10-3] 이진 변조의 경우 MAP 판정

## 10.2 최소 유클리드 거리 판정

### 예제 10-2

$\hat{m} = \arg \max_i P_{m|\vec{R}}(i|\vec{r})$  과 같이 MAP 판정을 이용할 때, 수신단의 판정  $\hat{m}$  을 구하시오.

(a) 4진 변조이고  $P_{m|\vec{R}}(0|\vec{r}) = 0.1$ ,  $P_{m|\vec{R}}(1|\vec{r}) = 0.2$ ,  $P_{m|\vec{R}}(2|\vec{r}) = 0.4$ ,

$$P_{m|\vec{R}}(3|\vec{r}) = 0.3$$

(b) 이진 변조이고  $P_{m|\vec{R}}(0|\vec{r}) = 0.6$ ,  $P_{m|\vec{R}}(1|\vec{r}) = 0.4$

### 풀이

(a) 4진 변조이므로  $\hat{m} = \arg \max_{i \in \{0, 1, 2, 3\}} P_{m|\vec{R}}(i|\vec{r})$  이다.  $\max_{i \in \{0, 1, 2, 3\}} P_{m|\vec{R}}(i|\vec{r})$  은 사후 확률의 최댓값이므로 0.4이다.  $P_{m|\vec{R}}(2|\vec{r}) = 0.4$ 이므로 수신단의 판정은  $\hat{m} = 2$  이다.

(b) 이진 변조이므로  $\hat{m} = \arg \max_{i \in \{0, 1\}} P_{m|\vec{R}}(i|\vec{r})$  이다.  $\max_{i \in \{0, 1\}} P_{m|\vec{R}}(i|\vec{r})$  은 사후 확률의 최댓값이므로 0.6이다.  $P_{m|\vec{R}}(0|\vec{r}) = 0.6$ 이므로 수신단의 판정은  $\hat{m} = 0$  이다.

## 10.2 최소 유클리드 거리 판정

$$P_{m|\vec{R}}(i|\vec{r}) = \frac{f_{\vec{R}|m}(\vec{r}|i)P_m(i)}{f_{\vec{R}}(\vec{r})} \quad (10.15)$$

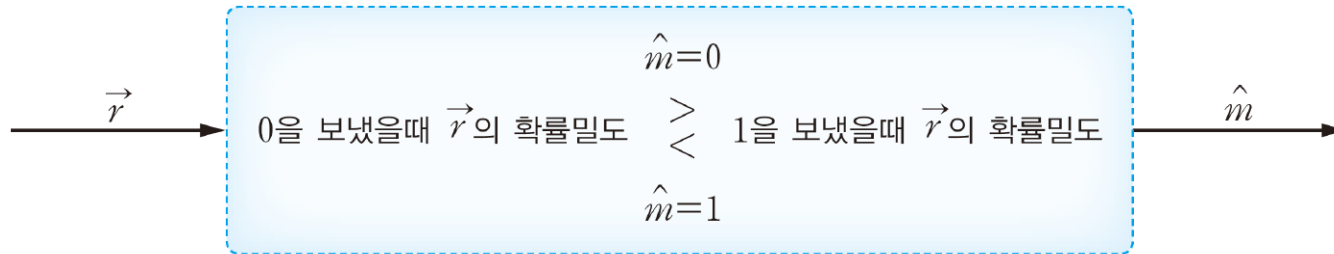
- **최대사후확률(Maximum a posteriori : MAP) 판정**

$$\hat{m} = \arg \max_i f_{\vec{R}|m}(\vec{r}|i)P_m(i) \quad (10.16)$$

- **최대우도판정(Maximum likelihood : ML) 판정**

$$\hat{m} = \arg \max_i f_{\vec{R}|m}(\vec{r}|i) \quad (10.17)$$

## 10.2 최소 유클리드 거리 판정



[그림 10-4] 이진 변조의 경우 ML 판정

$r(t) = s_m(t) + n(t)$  인 AWGN 채널에서

$$\vec{N} = (N_1, N_2) = \left( \int_0^{T_s} n(t) \sqrt{\frac{2}{T_s}} \cos 2\pi f_c t dt, - \int_0^{T_s} n(t) \sqrt{\frac{2}{T_s}} \sin 2\pi f_c t dt \right)$$

$$\vec{s}_m = (s_{m,1}, s_{m,2}) = \left( \int_0^{T_s} s_m(t) \sqrt{\frac{2}{T_s}} \cos 2\pi f_c t dt, - \int_0^{T_s} s_m(t) \sqrt{\frac{2}{T_s}} \sin 2\pi f_c t dt \right)$$

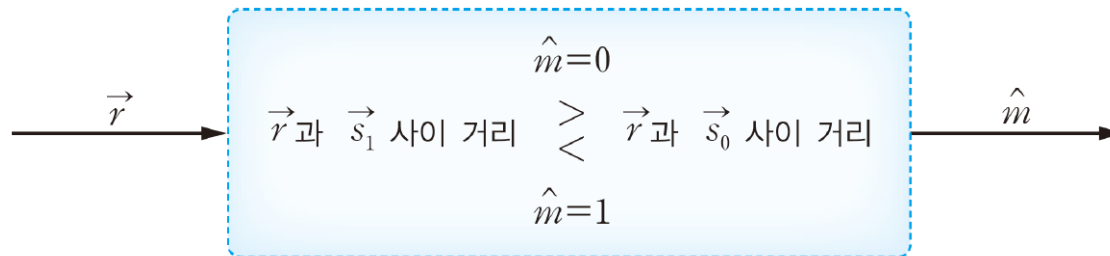
$$\vec{R} = (R_1, R_2) = \left( \int_0^{T_s} r(t) \sqrt{\frac{2}{T_s}} \cos 2\pi f_c t dt, - \int_0^{T_s} r(t) \sqrt{\frac{2}{T_s}} \sin 2\pi f_c t dt \right)$$

## 10.2 최소 유클리드 거리 판정

$$\begin{aligned}
 f_{R_1, R_2}(r_1, r_2 | i) &= f_{R_1}(r_1 | i) f_{R_2}(r_2 | i) \\
 &= \frac{1}{\pi N_0} e^{-\frac{(r_1 - s_{i,1})^2 + (r_2 - s_{i,2})^2}{N_0}} = \frac{1}{\pi N_0} e^{-\frac{\|\vec{r} - \vec{s}_i\|^2}{N_0}}
 \end{aligned} \tag{10.18}$$

### • AWGN 채널에서 최대우도판정(ML) 판정

$$\hat{m} = \arg \max_i \frac{1}{\pi N_0} e^{-\frac{\|\vec{r} - \vec{s}_i\|^2}{N_0}} = \arg \min_i \|\vec{r} - \vec{s}_i\| \tag{10.19}$$

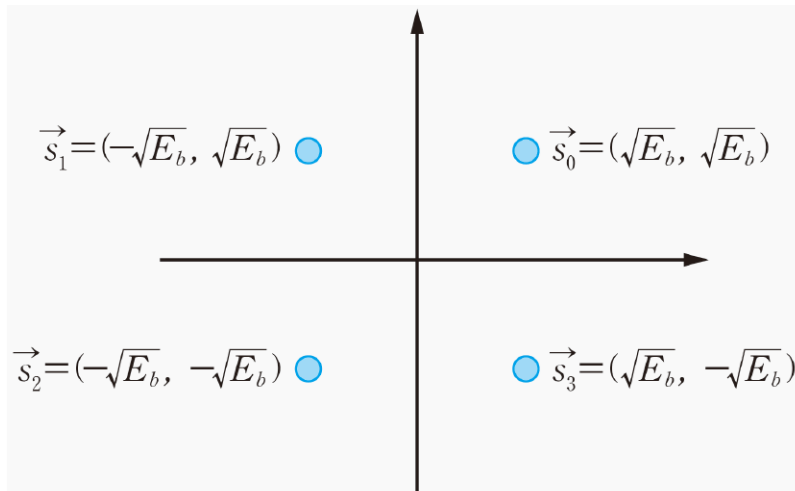


[그림 10-5] 이진 변조의 경우 최소 거리 판정

## 10.2 최소 유클리드 거리 판정

### 예제 10-4

QPSK 변조를 이용할 때 신호 성상도는 [그림 10-6]과 같다. 비트 에너지는  $E_b = 1$ , 수신 벡터는  $\vec{r} = (2, 3)$ 일 때, 최소 거리 판정을 이용하여 복조하시오.



[그림 10-6] QPSK 신호 성상도

## 10.2 최소 유클리드 거리 판정

### 풀이

최소 거리 판정  $\hat{m} = \arg \min_i \|\vec{r} - \vec{s}_i\|^2$ 을 사용하기 위해  $\|\vec{r} - \vec{s}_i\|^2$ 을 모든 심볼에 대하여 계산한다.

$$\|\vec{r} - \vec{s}_0\|^2 = \|(2, 3) - (1, 1)\|^2 = \|(1, 2)\|^2 = 1 + 4 = 5$$

$$\|\vec{r} - \vec{s}_1\|^2 = \|(2, 3) - (-1, 1)\|^2 = \|(3, 2)\|^2 = 9 + 4 = 13$$

$$\|\vec{r} - \vec{s}_2\|^2 = \|(2, 3) - (-1, -1)\|^2 = \|(3, 4)\|^2 = 9 + 16 = 25$$

$$\|\vec{r} - \vec{s}_3\|^2 = \|(2, 3) - (1, -1)\|^2 = \|(1, 4)\|^2 = 1 + 16 = 17$$

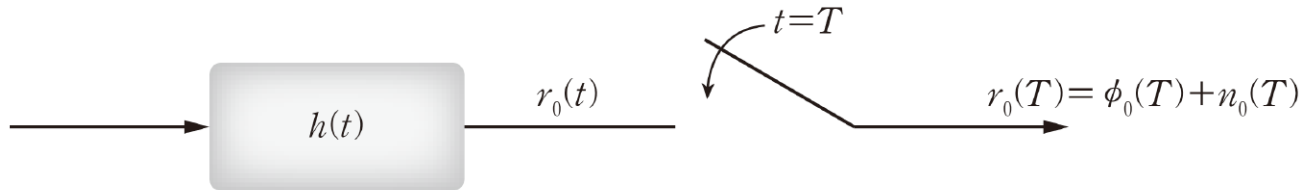
따라서  $\min_i \|\vec{r} - \vec{s}_i\|^2 = 5$ 이다.  $\|\vec{r} - \vec{s}_0\|^2 = 5$ 이므로 최소 거리 판정은  $\hat{m} = 0$ 이다.





## 10.3 정합 필터

# 10.3 정합 필터



[그림 10-7] 신호 성분과 잡음 성분이 있을 때 정합 필터의 구조

- 출력의 SNR

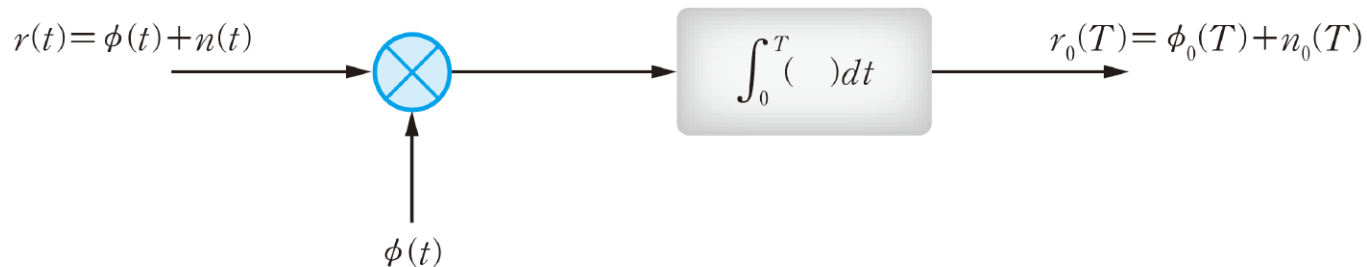
$$\frac{\phi_0^2(T)}{E[n_0^2(T)]}$$

- 출력의 SNR을 최대화하는  $h(t)$

$$h(t) = \phi(T-t) \quad (10.21)$$

# 10.3 정합 필터

$$\begin{aligned}
 r_0(T) &= \int_{-\infty}^{\infty} r(\tau)h(T-\tau)d\tau = \int_0^T r(\tau)h(T-\tau)d\tau \\
 &= \int_0^T r(\tau)\phi(\tau)d\tau = \langle r(t), \phi(t) \rangle
 \end{aligned} \tag{10.22}$$

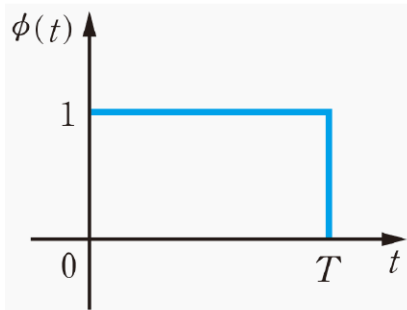


[그림 10-8] 정합 필터의 상관기 구현

## 10.3 정합 필터

### 예제 10-5

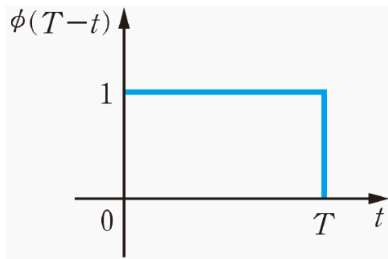
정합 필터의 입력 신호 가운데 신호 성분  $\phi(t)$ 가 [그림 10-9]와 같이 사각 펄스이다. 이때 정합 필터의 임펄스 응답  $h(t)$ , 신호 성분  $\phi(t)$ 의 정합 필터 출력  $\phi_o(t)$ 를 그리시오.



[그림 10-9] 정합 필터의 입력 신호 가운데 신호 성분  $\phi(t)$

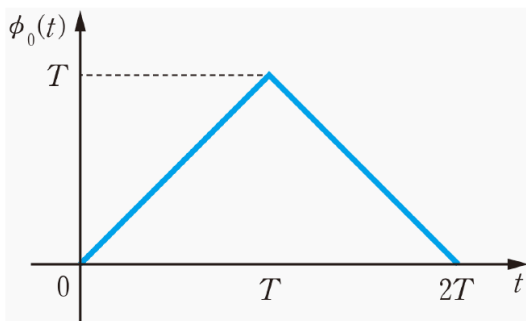
# 10.3 정합 필터

## 풀이



[그림 10-10] 정합 필터의 임펄스 응답  $h(t) = \phi(T-t)$

신호 성분  $\phi(t)$ 의 정합 필터 출력  $\phi_o(t) = \int_0^t \phi(\tau)\phi(t-\tau)d\tau$ 는 [그림 10-11]과 같다.



[그림 10-11] 신호 성분  $\phi(t)$ 의 정합 필터 출력  $\phi_o(t) = \int_0^t \phi(\tau)\phi(t-\tau)d\tau$



## 10.4 판정 경계와 합집합 상한

## 10.4 판정 경계와 합집합 상한

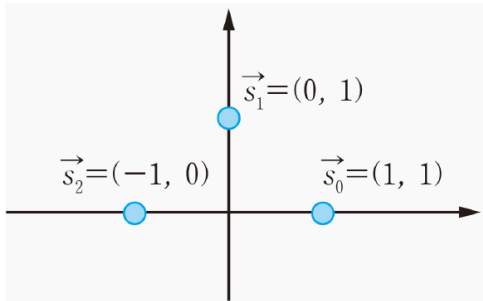
- 판정 경계

- 2차원  $M$ 진 변조의 경우에 신호 성상도에는  $M$ 개의 점이 찍히게 되는데, 이 각 점들을 거리가 가장 가까운 지역  $M$ 개로 나눌 때의 경계

## 10.4 판정 경계와 합집합 상한

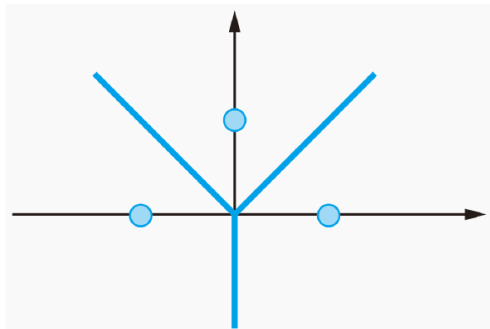
### 예제 10-6

[그림 10-12]와 같은 2차원 3진 변조의 신호 성상도가 있다. 최소 거리 판정을 한다고 할 때, 이 그림에 판정 경계를 그리시오.



[그림 10-12] 3진 변조의 신호 성상도의 예

### 풀이



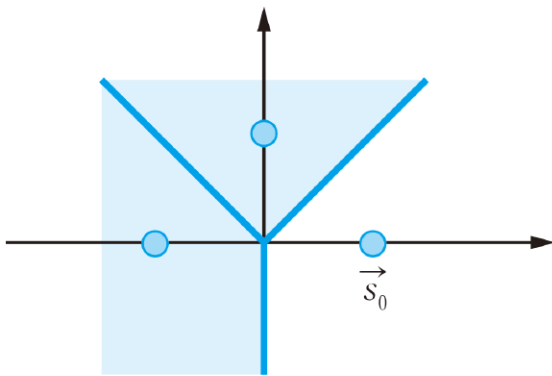
[그림 10-13] 3진 변조의 신호 성상도와 판정 경계



## 10.4 판정 경계와 합집합 상한

$$P_s = \frac{1}{M} \sum_{i=0}^{M-1} P(\text{오류} | i) \quad (10.24)$$

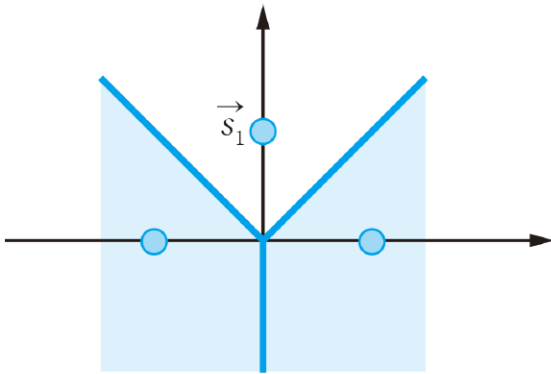
$P(\text{오류} | 0)$ 은  $f_{\vec{R}|m}(\vec{r} | 0) = \frac{1}{\pi N_0} e^{-\frac{\|\vec{r} - \vec{s}_0\|^2}{N_0}}$ 을 [그림 10-14]의 색칠한 부분에서 적분한 값이다.



[그림 10-14] 3진 변조에서 심볼 0을 보낼 때 판정 오류가 나는 수신 벡터의 영역

## 10.4 판정 경계와 합집합 상한

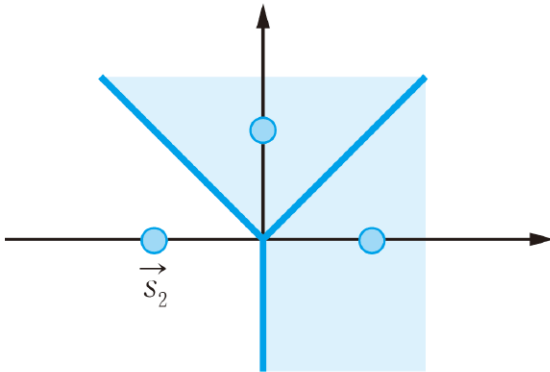
$P(\text{오류} | 1)$ 은  $f_{\vec{R}|m}(\vec{r}|1) = \frac{1}{\pi N_0} e^{-\frac{\|\vec{r} - \vec{s}_1\|^2}{N_0}}$  을 [그림 10-15]의 색칠한 부분에서 적분한 값이다.



[그림 10-15] 3진 변조에서 심볼 1을 보낼 때 판정 오류가 나는 수신 벡터의 영역

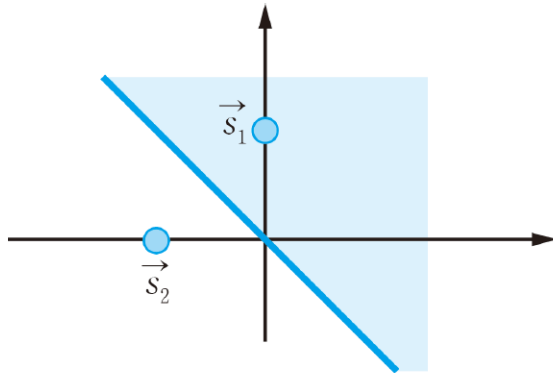
## 10.4 판정 경계와 합집합 상한

$P(\text{오류} | 2)$ 는  $f_{R|m}(\vec{r} | 2) = \frac{1}{\pi N_0} e^{-\frac{\|\vec{r} - \vec{s}_2\|^2}{N_0}}$  을 [그림 10-16]의 색칠한 부분에서 적분한 값이다.



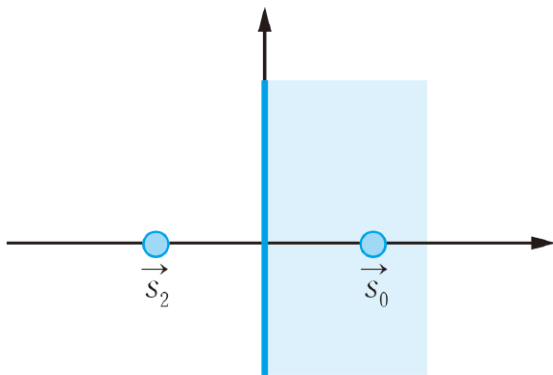
[그림 10-16] 3진 변조에서 심볼 2를 보낼 때 판정 오류가 나는 수신 벡터의 영역

# 10.4 판정 경계와 합집합 상한



$$P(A) = Q\left(\frac{\|\vec{s}_1 - \vec{s}_2\|}{\sqrt{2N_0}}\right) \quad (10.26)$$

[그림 10-17] 심볼 1, 심볼 2만 있다고 가정하고, 심볼 2를 보낼 때 심볼 1으로 판정 오류가 나는 수신 벡터의 영역



$$P(B) = Q\left(\frac{\|\vec{s}_0 - \vec{s}_2\|}{\sqrt{2N_0}}\right) \quad (10.27)$$

[그림 10-18] 심볼 0, 심볼 2만 있다고 가정하고, 심볼 2를 보낼 때 심볼 0으로 판정 오류가 나는 수신 벡터의 영역

## 10.4 판정 경계와 합집합 상한

$$P(\text{오류} | 2) \leq P(A) + P(B) = Q\left(\frac{\|\vec{s}_1 - \vec{s}_2\|}{\sqrt{2N_0}}\right) + Q\left(\frac{\|\vec{s}_0 - \vec{s}_2\|}{\sqrt{2N_0}}\right) \quad (10.28)$$

### ★ 핵심 포인트 ★

- 판정 경계 : 2차원  $M$ 진 변조의 경우에 신호 성상도에는  $M$ 개의 점이 찍히게 되는데, 이 각 점들을 거리가 가장 가까운 지역  $M$ 개로 나눌 때의 경계



## 10.5 BPSK 복조

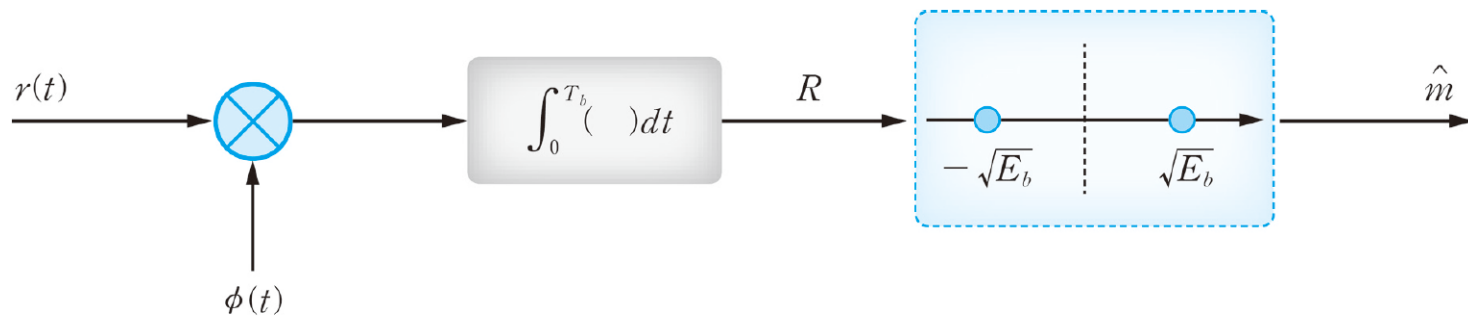
# 10.5 BPSK 복조

$$s_0(t) = -A \cos 2\pi f_c t$$

$$s_1(t) = A \cos 2\pi f_c t$$

- 신호공간  $\{c_1 \cos 2\pi f_c t \mid c_1 \text{은 실수}\}$
- 이 신호공간의 정규 직교 베이스

$$\phi(t) = \sqrt{\frac{2}{T_b}} \cos 2\pi f_c t$$

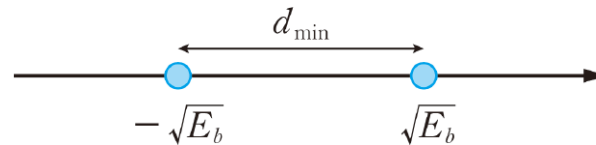


[그림 10-19] BPSK 수신단의 구조

## 10.5 BPSK 복조

- Bit error rate (BER)

$$P_b = \frac{1}{2} \{P(\text{오류} | 0) + P(\text{오류} | 1)\} \quad (10.30)$$



[그림 9-2]  $E_b$ 를 이용한 BPSK의 신호 성상도

$$P_b = Q\left(\frac{d_{\min}}{\sqrt{2N_0}}\right) = Q\left(\sqrt{\frac{2E_b}{N_0}}\right) \quad (10.31)$$





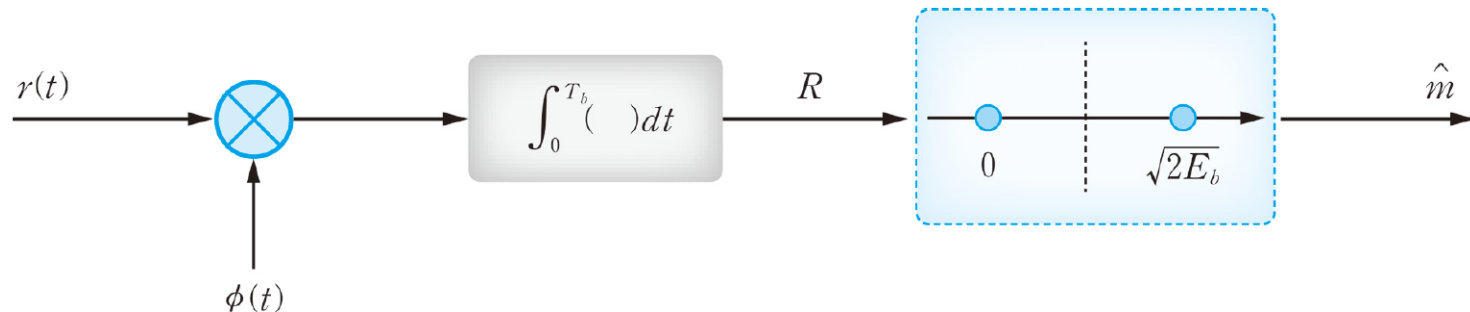
## 10.6 ASK 복조

# 10.6 ASK 복조

$$s_0(t) = 0, \quad s_1(t) = A \cos 2\pi f_c t$$

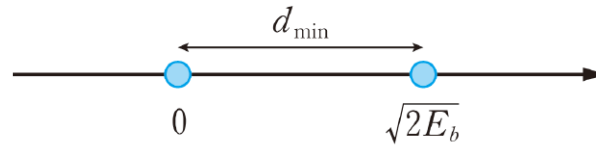
- 신호공간  $\{c_1 \cos 2\pi f_c t \mid c_1 \text{은 실수}\}$
- 이 신호공간의 정규 직교 베이스

$$\phi(t) = \sqrt{\frac{2}{T_b}} \cos 2\pi f_c t$$



[그림 10-20] ASK 동기식 복조의 경우 수신단 구조

# 10.6 ASK 복조



[그림 9-4]  $E_b$ 를 이용한 ASK의 신호 성상도

$$P_b = Q\left(\frac{d_{\min}}{\sqrt{2N_0}}\right) = Q\left(\sqrt{\frac{E_b}{N_0}}\right) \quad (10.33)$$

- ASK는 비동기식 복조도 가능하다.



## 10.7 BFSK 복조

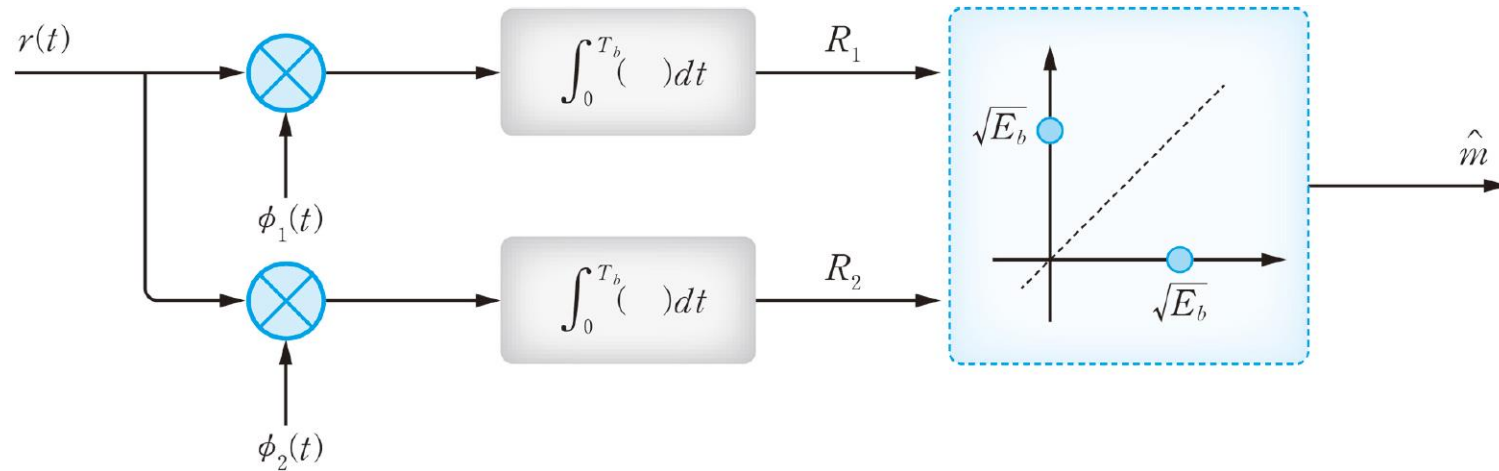
## 10.7 BFSK

$$s_0(t) = A \cos 2\pi f_0 t, \quad s_1(t) = A \cos 2\pi f_1 t$$

- **신호공간**  $\{c_0 \cos 2\pi f_0 t + c_1 \cos 2\pi f_1 t \mid c_0, c_1 \text{은 실수}\}$
- **이 신호공간의 정규 직교 베이스**

$$\phi_1(t) = \sqrt{\frac{2}{T_b}} \cos 2\pi f_0 t, \quad \phi_2(t) = \sqrt{\frac{2}{T_b}} \cos 2\pi f_1 t$$

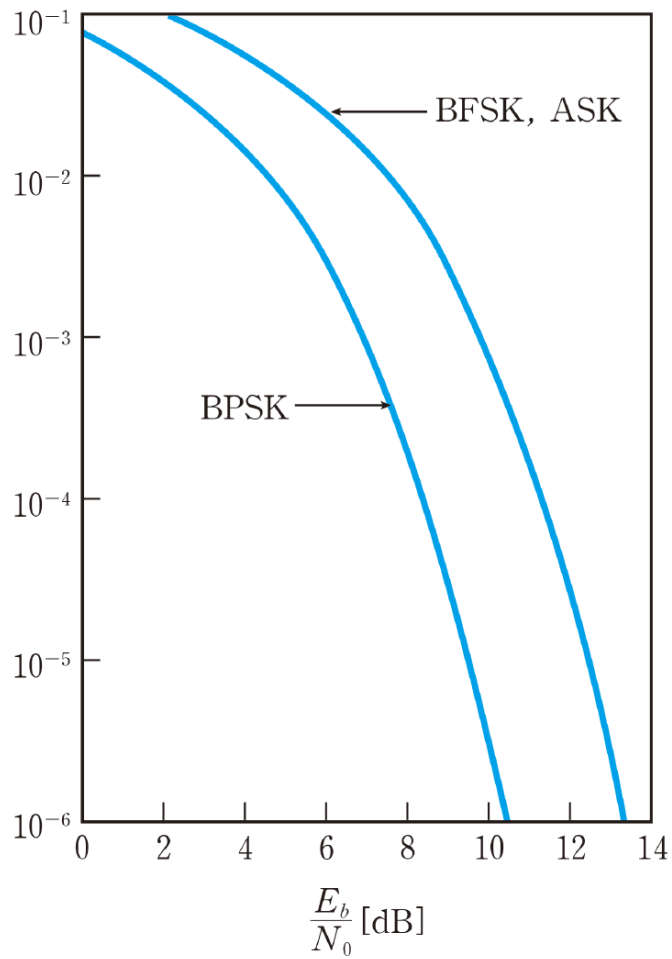
## 10.7 BFSK



[그림 10-21] BFSK 동기식 복조의 경우 수신단 구조

$$P_b = Q\left(\frac{d_{\min}}{\sqrt{2N_0}}\right) = Q\left(\sqrt{\frac{E_b}{N_0}}\right) \quad (10.35)$$

## 10.7 BFSK



[그림 10-22] BPSK, ASK, BFSK의 BER  $P_b$

## 10.7 BFSK

### ★ 핵심 포인트 ★

- BFSK 동기식 복조 :  $R_1 = \int_0^{T_b} r(t)\phi_1(t)dt$ ,  $R_2 = \int_0^{T_b} r(t)\phi_2(t)dt$ 를 구한 다음, 수신 벡터  $(R_1, R_2)$ 를  $\vec{s}_0 = (\sqrt{E_b}, 0)$ ,  $\vec{s}_1 = (0, \sqrt{E_b})$ 와 비교하여 가까운 쪽으로 판정
- BFSK 동기식 복조의 BER :  $P_b = Q\left(\sqrt{\frac{E_b}{N_0}}\right)$





## 10.8 MPSK 복조

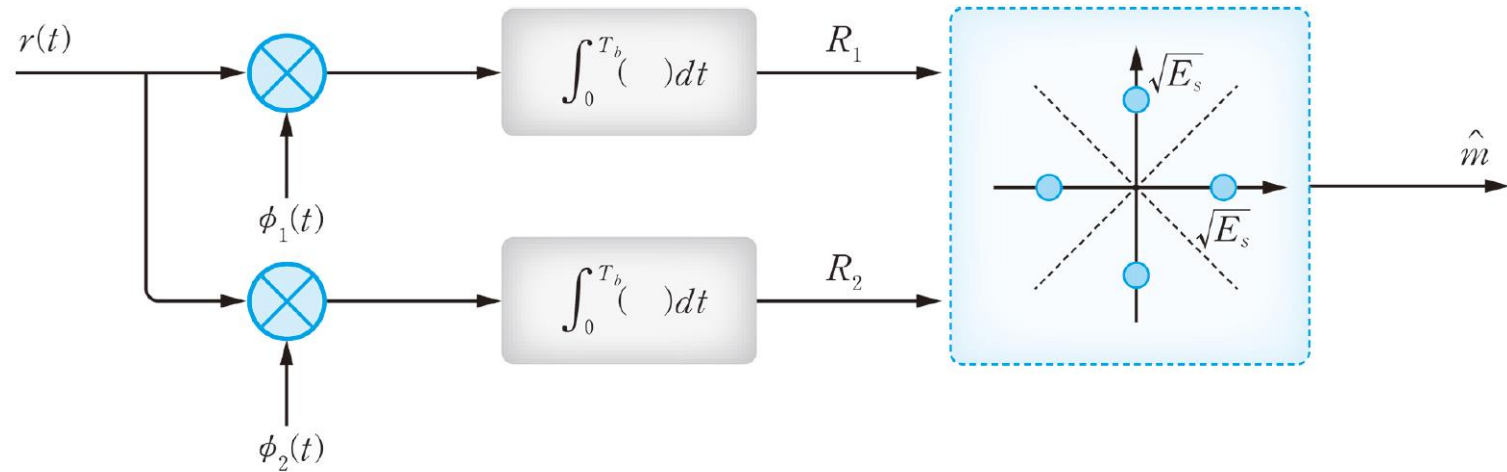
## 10.8 MPSK 복조

$$\begin{aligned}
 s_m(t) &= \sqrt{\frac{2E_s}{T_s}} \cos\left(2\pi f_c t + \frac{2\pi m}{M}\right) \\
 &= \sqrt{E_s} \cos \frac{2\pi m}{M} \cdot \sqrt{\frac{2}{T_s}} \cos 2\pi f_c t - \sqrt{E_s} \sin \frac{2\pi m}{M} \cdot \sqrt{\frac{2}{T_s}} \sin 2\pi f_c t
 \end{aligned}$$

- **신호공간**  $\{c_0 \cos 2\pi f_c t + c_1 \sin 2\pi f_c t \mid c_0, c_1 \text{은 실수}\}$
- **이 신호공간의 정규 직교 베이스**

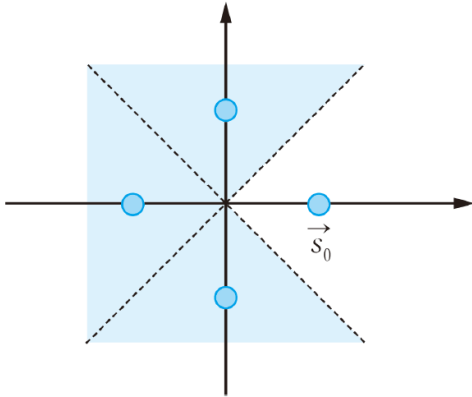
$$\phi_1(t) = \sqrt{\frac{2}{T_s}} \cos 2\pi f_c t, \quad \phi_2(t) = -\sqrt{\frac{2}{T_s}} \sin 2\pi f_c t$$

## 10.8 MPSK 복조

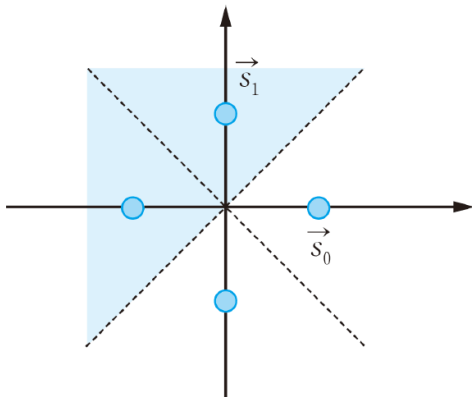
[그림 10-23] QPSK의 경우 수신단 구조( $M=4$ )

$$P_s = P(\text{오류} | 0) \leq 2Q\left(\frac{d_{\min}}{\sqrt{2N_0}}\right) = 2Q\left(\sqrt{\frac{2E_s}{N_0}} \sin \frac{\pi}{M}\right) \quad (10.37)$$

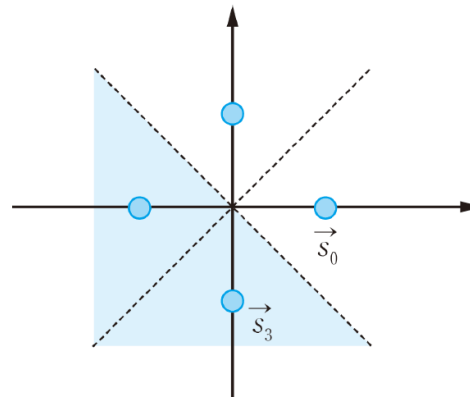
# 10.8 MPSK 복조



[그림 10-24] QPSK의 경우  $\vec{s}_0$ 를 보낼 때 판정 오류가 생기는 수신 벡터의 영역



[그림 10-25]  $\vec{s}_0$ 와  $\vec{s}_1$ 만 있다고 가정하고  $\vec{s}_0$ 를 보낼 때  $\vec{s}_1$ 으로 판정 오류가 생기는 수신 벡터의 영역



[그림 10-26]  $\vec{s}_0$ 와  $\vec{s}_3$ 만 있다고 가정하고  $\vec{s}_0$ 를 보낼 때  $\vec{s}_3$ 로 판정 오류가 생기는 수신 벡터의 영역

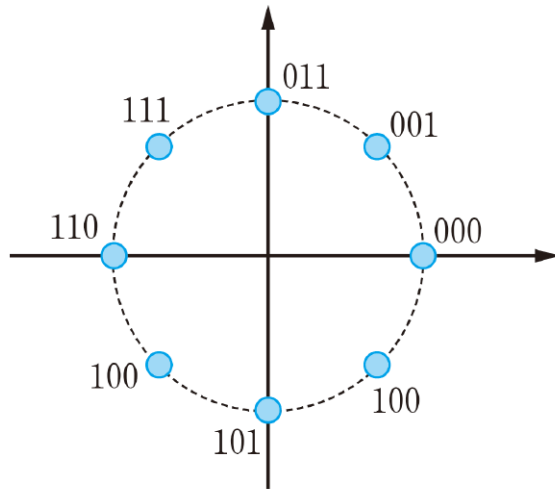
## 10.8 MPSK 복조

$$P_s = 2Q\left(\sqrt{\frac{E_s}{N_0}}\right) - Q^2\left(\sqrt{\frac{E_s}{N_0}}\right) \quad (10.39)$$

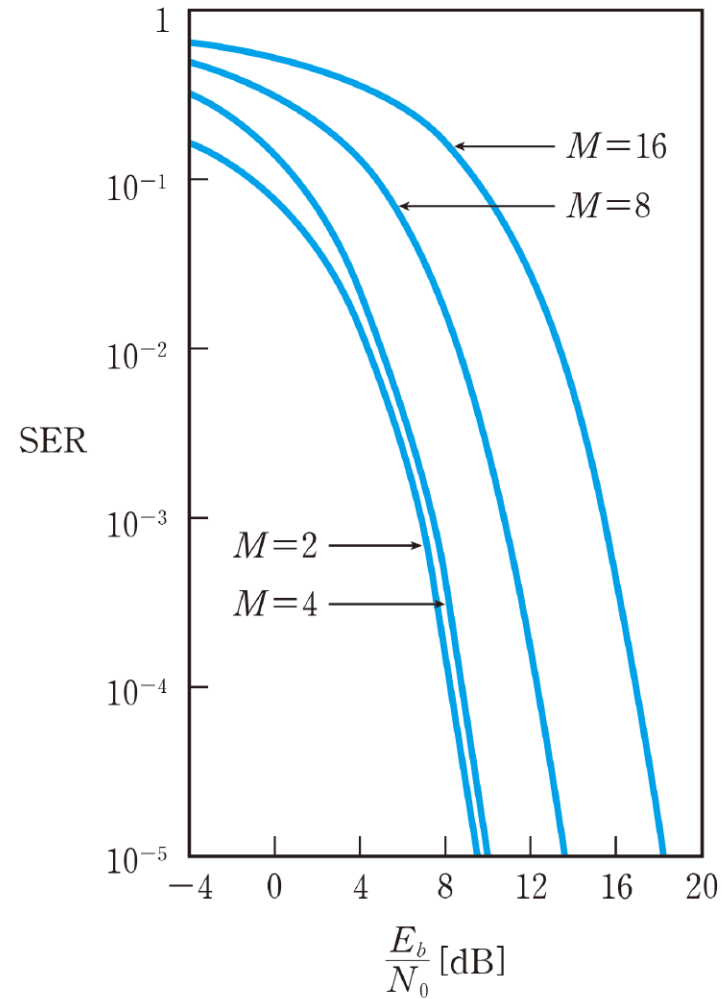
$$\begin{aligned} P_b &= \frac{\text{비트 오류 개수}}{\text{보낸 비트 개수}} \\ &= \frac{(1\text{에서 } \log_2 M \text{ 사이 숫자}) \cdot \text{심볼 오류 개수}}{\log_2 M \cdot \text{보낸 심볼 개수}} \end{aligned} \quad (10.40)$$

$$\frac{P_s}{\log_2 M} \leq P_b \leq P_s \quad (10.41)$$

# 10.8 MPSK 복조



[그림 10-27] 그레이 코딩된 8-PSK의 신호 성상도



[그림 10-28] MPSK의 SER  $P_s$  ( $M=2, 4, 8, 16$ )



## 10.9 QAM 복조

## 10.9 QAM 복조

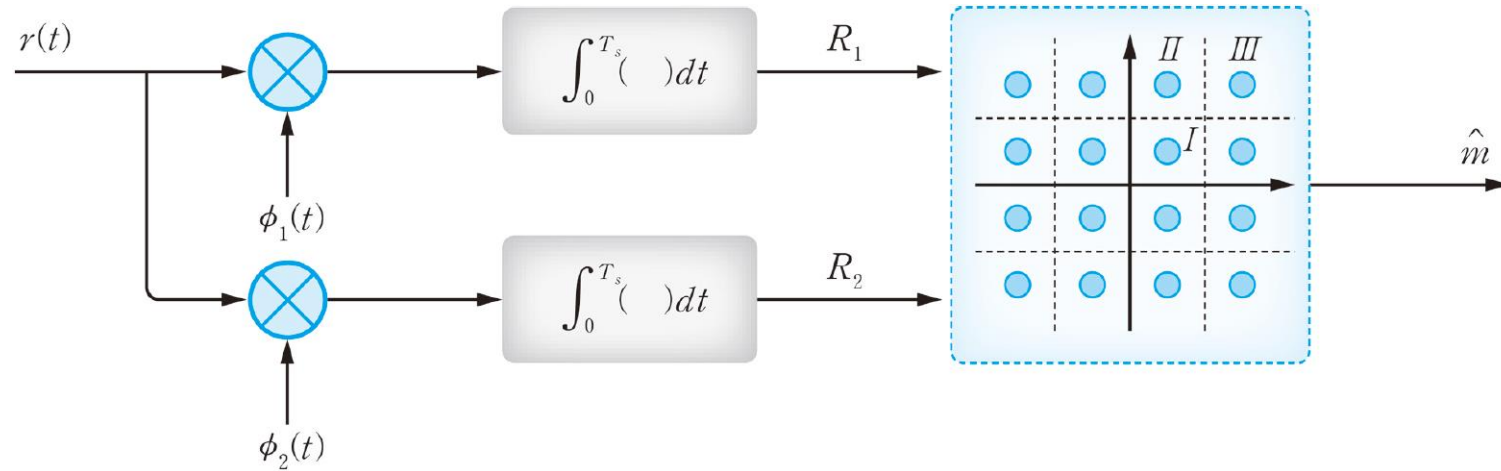
$$s_m(t) = I_m \sqrt{\frac{2}{T_s}} \cos 2\pi f_c t - Q_m \sqrt{\frac{2}{T_s}} \sin 2\pi f_c t$$

- 신호공간  $\{c_0 \cos 2\pi f_c t + c_1 \sin 2\pi f_c t \mid c_0, c_1 \text{은 실수}\}$
- 이 신호공간의 정규 직교 베이스

$$\phi_1(t) = \sqrt{\frac{2}{T_s}} \cos 2\pi f_c t, \quad \phi_2(t) = -\sqrt{\frac{2}{T_s}} \sin 2\pi f_c t$$



# 10.9 QAM 복조



[그림 10-29] 16-QAM의 수신단 구조

$$P(\text{오류} | I) = 4Q\left(\sqrt{\frac{E_s}{5N_0}}\right) - 4Q^2\left(\sqrt{\frac{E_s}{5N_0}}\right) \leq 4Q\left(\sqrt{\frac{E_s}{5N_0}}\right) \quad (10.43)$$

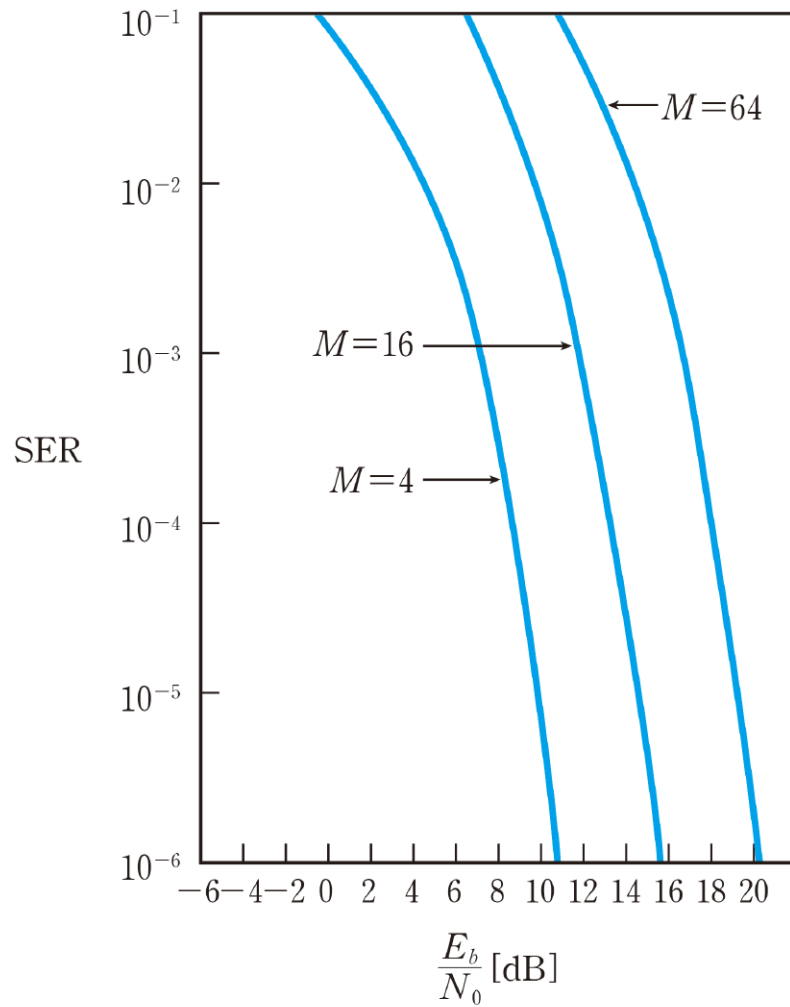
## 10.9 QAM 복조

$$P(\text{오류} | II) = 3Q\left(\sqrt{\frac{E_s}{5N_0}}\right) - 2Q^2\left(\sqrt{\frac{E_s}{5N_0}}\right) \leq 3Q\left(\sqrt{\frac{E_s}{5N_0}}\right) \quad (10.44)$$

$$P(\text{오류} | III) = 2Q\left(\sqrt{\frac{E_s}{5N_0}}\right) - Q^2\left(\sqrt{\frac{E_s}{5N_0}}\right) \leq 2Q\left(\sqrt{\frac{E_s}{5N_0}}\right) \quad (10.45)$$

$$\begin{aligned} P_s &= \frac{1}{16} \{4P(\text{오류} | I) + 8P(\text{오류} | II) + 4P(\text{오류} | III)\} \\ &= 3Q\left(\sqrt{\frac{E_s}{5N_0}}\right) - \frac{9}{4}Q^2\left(\sqrt{\frac{E_s}{5N_0}}\right) \leq 3Q\left(\sqrt{\frac{E_s}{5N_0}}\right) \end{aligned} \quad (10.46)$$

# 10.9 QAM 복조



[그림 10-30] QAM의 SER  $P_s$  ( $M=4, 16, 64$ )



# Q & A

수고하셨습니다.